

1.緒 言

着名は、被覆アーク溶接棒を用いた重力式アーク溶接法を用いて一連の水中溶接実験を進めている。その結果、水中溶接の場合、水による冷却効果が溶接部の機械的性質に極めて大きな影響を及ぼすと同時に、溶接姿勢をはじめ溶接入熱、溶接継手の形状など各種溶接条件によって水中溶接部の冷却速度に顕着公差が認められることを明らかにした。しかし、これまでの研究はいずれも付随的に冷却速度を測定するに留まり、系統的な研究に欠けていた。そこで、本報では、水中溶接部各位

置における冷却速度および溶接条件の冷却速度に与える影響などについて一連の実験的研究を行なって、大気中溶接に対する水中溶接における溶接部の冷却過程の特異性を明らかにしたので、その結果について報告する。

2. 実驗方法

熱サイクルは,所定の寸法(200×150 mm) を有する母材の裏面よりあけた孔(1.5 mm径) の中へアルメル・クロメル熱電対(0.3 mm径) を挿入し,その先端を孔底にパーカッション溶接しておいて,ビード 置溶接を行なって側定した。なお,熱サイクルの記録には 電磁式オシログラフを用いている。

3.実験結果

3.1水中路接部の冷却過程

Fig.1は,大気中および水中において,厚さ6および19mmの母材上に,ビード 置溶

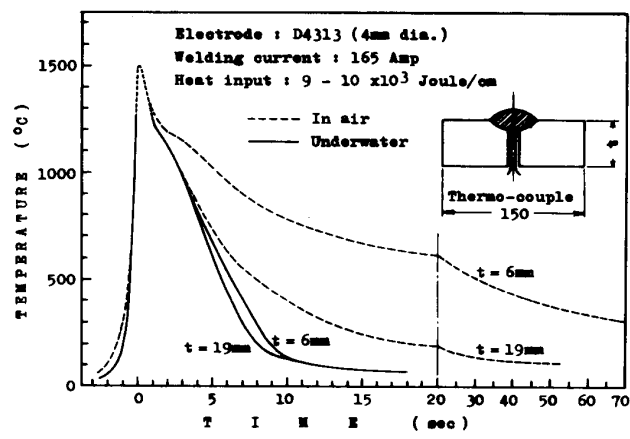


Fig.1 Thermal histories at bond

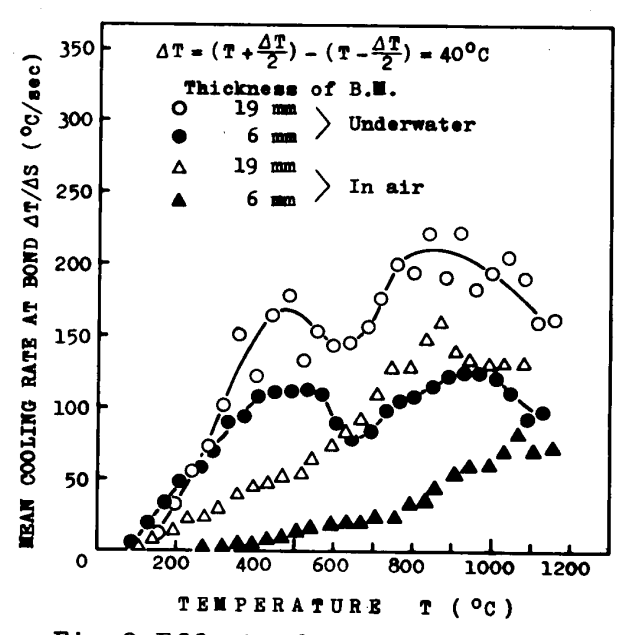


Fig.2 Effect of environment and
 thickness of base metal on
 mean cooling rate at bond
 (ΔT = 40°C)

接を行なった場合の溶接ボンド部の熱サイクル を示したもので、水中溶接部の冷却速度が大気 中のそれに比べて極めて高いことおよび母材の 厚さの影響を大気中溶接ほど受けていないこと がわかる。Fig. 2 は、以上の曲線を用いて得ら れたボンド部の温度と平均冷却速度(△T=40°C) との関係を示したもので、大気中と水中溶接の 場合とでは、平均冷却曲線が全く異った様相を 呈している。すなわち,大気中溶接の場合,温 度と冷却速度との関係はほぼ単純増加の傾向を 示しているが、水中溶接の場合のそれは、500 ℃付近に極大値を有し,600~700℃付近に極小 値を有する複雑な傾向を示している。これは、 大気中溶接部の冷却が、主に、母材への熱伝導 によって起るのに対し、水中溶接部の冷却は、 主に、水の沸騰現象を伴った水中への熱伝達に よって起るためと考えられる。

3.2溶接部の各位置における冷却速度

Fig. 3 は、溶接部各位 置における冷却速度を知るために、溶接スタート部からの距離と溶接ボンド部の500°Cにおける冷却速度および800~500°Cと800~300°Cの冷却時間との関係を示したものである。図より、クレータ部の500°Cにおける冷却速度は、約310°C/secであり、ビード中央付近の約160°C/secに比べて極めて高い値を示している。

3.3水圧の影響

Fig. 4は、溶接部の冷却速度に与える水圧の影響を示したものである。図より、大気圧の場合、500°C/secであり、水圧が9気圧の場合のそれであるのに対して、水圧が9気圧の場合のそれは約130°C/secであり、圧力の上昇に伴って溶接速度が低下し、溶接速度が増加するためと考えられる。

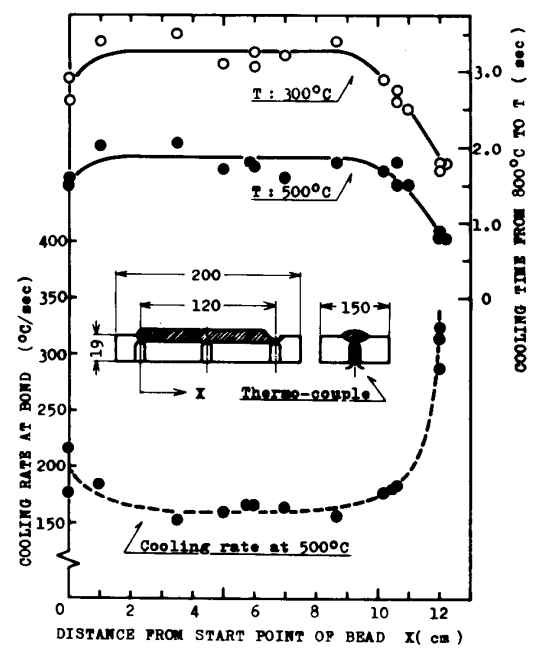


Fig. 3 Cooling rate at 500°C at bond and cooling time from 800°C to 500°C and to 300 °C at various points of weld bead

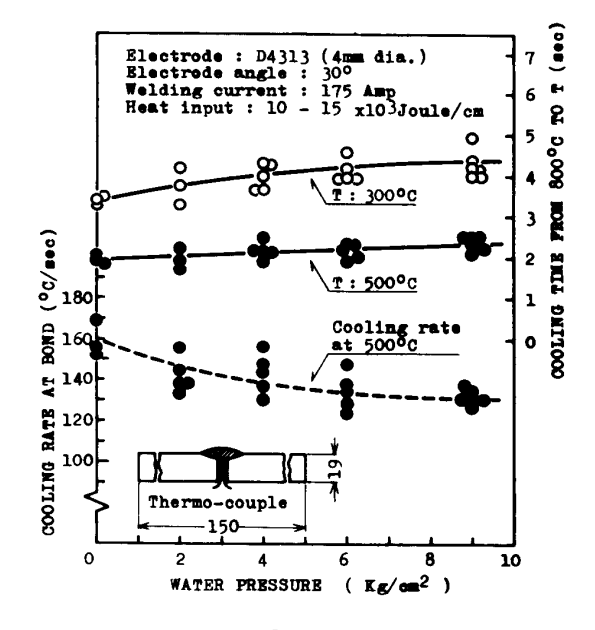


Fig. 4 Effect of water pressure on cooling rate at 500°C and cooling time from 800°C to 500°C and to 300°C at bond

```
1) 連井: 菅, "水中における重力式ア-7 溶接 (第1報)" 本誌 43-8 (1974) P767~775
2) 連井: 菅: 当麻," (第2報)"本誌 44-4 (1975) P337~344
3) 連井: 菅: 当麻," (第3報)"本誌 44-6 (1975) P459~465
4) 連井: 菅: 当麻," (その4)"本誌 舗演概要集 第15集(昭 49)P310~311
5) 連井: 菅: 当麻," (その5)"本誌 議演概要集 第15集(昭 49)P312~393
```